

Wykorzystanie sieci neuronowych do wykrywania zmian w obrazach medycznych

(English title)

Tomasz Nanowski

Praca inżynierska

Promotor: dr Jan Chorowski

Uniwersytet Wrocławski
Wydział Matematyki i Informatyki
Instytut Informatyki

14 stycznia 2019

Tomasz Nanowski

.....

.....

(adres zameldowania)

.....

.....

(adres korespondencyjny)

PESEL:

e-mail:

Wydział Matematyki i Informatyki

stacjonarne studia I stopnia

kierunek: informatyka

nr albumu: 279076

Oświadczenie o autorskim wykonaniu pracy dyplomowej

Niniejszym oświadczam, że złożoną do oceny pracę zatytułowaną *Wykorzystanie sieci neuronowych do wykrywania zmian w obrazach medycznych* wykonałem/am samodzielnie pod kierunkiem promotora, dr. Jana Chorowskiego. Oświadczam, że powyższe dane są zgodne ze stanem faktycznym i znane mi są przepisy ustawy z dn. 4 lutego 1994 r. o prawie autorskim i prawach pokrewnych (tekst jednolity: Dz. U. z 2006 r. nr 90, poz. 637, z późniejszymi zmianami) oraz że treść pracy dyplomowej przedstawionej do obrony, zawarta na przekazanym nośniku elektronicznym, jest identyczna z jej wersją drukowaną.

Wrocław, 14 stycznia 2019

(czytelny podpis)

Streszczenie

Celem projektu jest wykorzystanie modelu VAE do wykrywania zmian patologicznych w obrazach medycznych

...

Spis treści

1. Introduction	7
2. Artificial neural networks	9
2.1. Autoencoders	9
2.2. VAE	9
2.3. Convolution VAE	10
2.4. Deep feature consistent variational auto-encoder	10
3. MNIST experiments	11
3.1. MNIST	11
3.2. VAE	11
3.3. Deep feature consistent variational auto-encoder	13
4. Medical Dataset	15
4.1. Description	15
4.2. Preprocessing	16
4.3. Patches	16
4.4. Normalizations	16
5. Experiments on medical dataset	17
5.1. VAE	17
5.2. C-VAE	17
6. Workflow	19
7. Summary	21

Rozdział 1.

Introduction

Rozdział 2.

Artificial neural networks

Sztuczne sieci neuronowe mają obecnie bardzo mocno ugruntowaną pozycję szczególnie w dziedzinie problemów związanych z analizą i przetwarzaniem obrazów. Pomimo, iż nie jest to nowy pomysł, dopiero ostatni wzrost w wydajności komputerów pozwolił na ich praktyczne zastosowanie. Z matematycznego punktu widzenia są to sparametryzowane nieliniowe funkcje o pewnej ustalonej strukturze. Składają się z prostych elementów zwanych neuronami, a one natomiast są pogrupowane w warstwy. Połączenia między warstwami definiują przepływ danych. 'Nauka' sieci neuronowych polega na optymalizacji pewnej funkcji straty, czyli wyznaczeniu takich parametrów, żeby osiągnąć minimalny koszt. Do tego celu często korzysta się z metod opartych na SGD, a przy wybranej strukturze można w efektywny sposób zastosować algorytm propagacji wstecznej. W dalszej części pracy będę używał prostszej nazwy (neural nets). Przykładowa architektura sieci neuronowych jest zaprezentowana na wykresie ???.

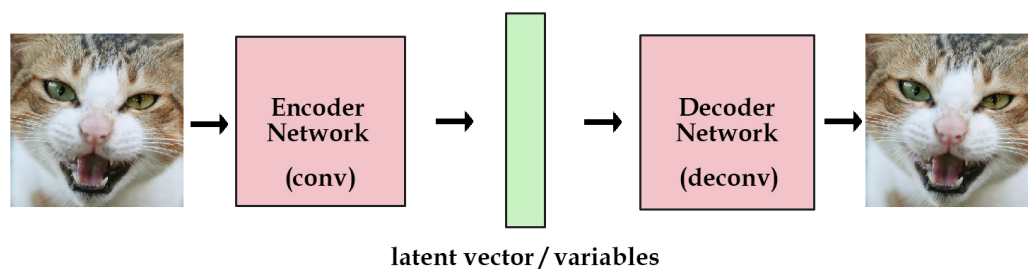
2.1. Autoencoders

Jest to jeden z rodzajów sieci neuronowych, służący do znajdowania wydajnej reprezentacji danych, co jest przykładem nauki bez nadzoru. W autoencoder'ach można wyróżnić dwie części: encoder i decoder. Zadaniem encodera jest wyprodukowanie reprezentacji, natomiast decoder służy do odtworzenia z niej oryginalnej postaci. Zależy nam na tym, żeby wyjście było w jakimś sensie jak najbardziej podobne do wejścia. W przypadku obrazów jako funkcja straty często stosowane jest MSE. Przykładowy schemat na wykresie 2.1.

2.2. VAE

Variational autoencoders rezszerzają założenia o wprowadzenie modelowania rozkładu prawdopodobieństwa dla reprezentacji ukrytej.

Napisać w końcu
opis VAE



Rysunek 2.1: Architecture of autoencoder

2.3. Convolution VAE

Jest to rozszerzenie poprzedniego modelu, w którym dodatkowo stosujemy warstwy splotowe. Szczególnie w przypadku obrazów pozwala to na zwiększenie rozmiaru danych wejściowych przez zmniejszenie ilości parametrów w stosunku do warstw fully-connected oraz wykryciu na wstępie jakiś prostych cech, przez co w reprezentacji mogą znajdować się bardziej abstrakcyjne rzeczy.

2.4. Deep feature consistent variational auto-encoder

Ta wersja zakłada użycie innej funkcji kosztu. MSE z samej definicji przyczynia się do uśredniania wartości pikseli przez co wyjściowy obraz nie jest wyraźny. W tym przypadku będziemy korzystać z zewnętrznej sieci splotowej wyuczonej do klasyfikacji obrazów. Będziemy teraz myśleć, że dwa obrazy są podobne, jeśli mają podobne wartości aktywacji w tej sieci. Takie podejście powinno nam dać ostrzejsze wyjście.

Rozdział 3.

MNIST experiments

3.1. MNIST

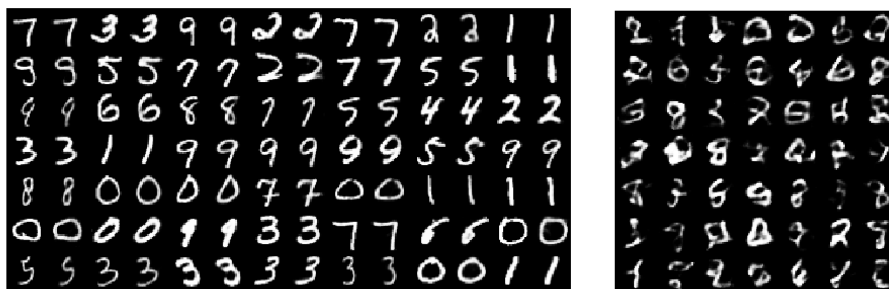
Jest to zbiór po kategoryzowanych odręcznie napisanych cyfr. Wszystkie obrazki są czarno-białe, rozmiaru 28x28 i wycelowane. Zbiór składa się z 60000 danych treningowych i 10000 testowych. Zbiór ten często wykorzystywany jest w celach testowych. W sensie, że jeżeli model na nim nie zadziała, to z dużym prawdopodobieństwem nie zadziała również na bardziej skomplikowanych danych. Przykładowe obrazki 3.1.



Rysunek 3.1: Samples from MNIST dataset

3.2. VAE

Na rysunku 3.2 znajduje się efekt wyuczenia modelu VAE z warstwą ukrytą rozmiaru 20. Po lewej widać rekonstrukcje, a po prawej efekty zdekodowania wektora wygenerowanego ze standardowego rozkładu normalnego.

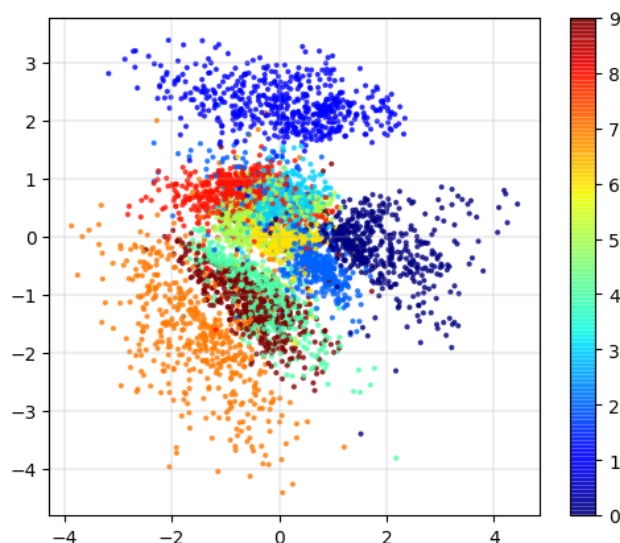


(a) Coffee.

(b) More coffee.

Rysunek 3.2: The same cup of coffee. Two times.

Dodatkowo warto byłoby zobaczyć jak konkretne cyfry rozrzucone są w przestrzeni. 20 wymiarów jest dosyć trudne do zwizualizowania, więc wyuczyłem model dla reprezentacji ukrytej rozmiaru 2. Na rysunku 3.3 znajdują się wyniki. Warty odnotowania jest fakt, że niektóre klasy są bardzo dobrze separowalne, mimo iż podczas nauki nie staraliśmy się rozwiązywać problemu klasyfikacji. Te ciekawą własność wyniku reprezentacji będę chciał wykorzystać w późniejszej analizie.



Rysunek 3.3

W oryginalnym problemie mamy bardzo duży dysonans pomiędzy ilością przykładów dla każdej z klas. Według statystyk dane z komórkami rakowymi stanowią 2% wszystkich. Ciężko jest więc nawet mówić o jakimś sensownym podejściu supervised. Do zasymulowania tego problemu dla MNIST będę uczył model jedynie na dwóch klasach [4, 7], a następnie testował zachowanie reprezentacji ukrytej dla przykładów z klasy 5.

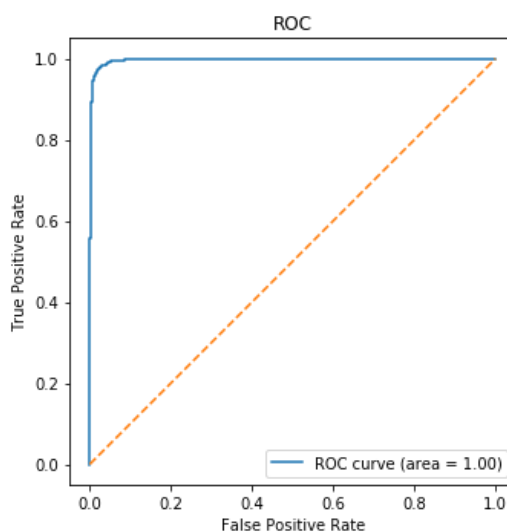
Rozmiar reprezentacji ukrytej wynosi 10. Analizować natomiast będziemy 2 składowe koszty dla modelu VAE: KLD oraz błąd rekonstrukcji MSE. Na rysunku 3.4

znajduje się przedstawienie ich wraz z histogramami. Można zauważyć, że wyłącznie na podstawie samego błędu rekonstrukcji można z bardzo dużą dokładnością określić dane pochodzące z klasy 5, mimo iż model nie widział żadnych ich przykładów podczas uczenia.



Rysunek 3.4

Do określenia jak rzeczywiście dobra jest ta separacja można wykorzystać krzywą ROC. Traktujemy to jako problem binarnej klasyfikacji, gdzie dane z klasy 5 będą oznaczone jako 1, a z [4, 7] jako 0. Wartość confidence to suma kosztów KLD i MSE. Jak widać na rysunku 3.5 takie podejście osiąga prawie 100% skuteczność. Podobne podejście będę chciał zastosować do danych medycznych.

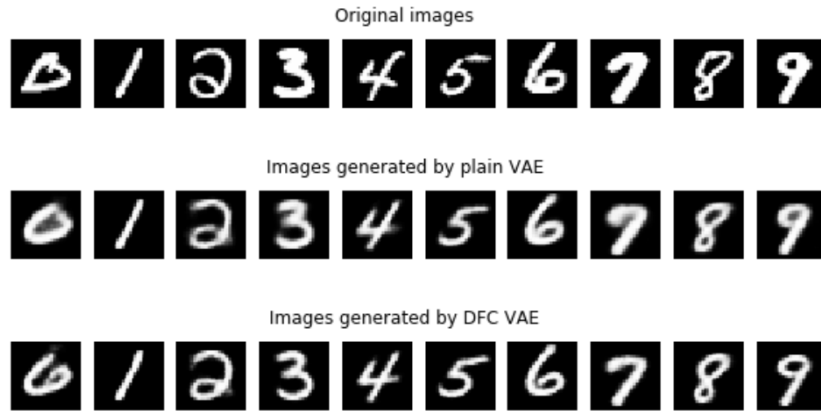


Rysunek 3.5

3.3. Deep feature consistent variational auto-encoder

Podobny eksperyment jw. przeprowadziłem również dla modelu DFC. Na początku jednak warto zobaczyć co zyskujemy na zmianie podejścia do kosztu rekonstrukcji. Różnice prezentują się na rysunku 3.6. Widać, że rekonstrukcje są mniej

rozmazane niż przy standardowym VAE. Dodatkowo lepiej rekonstruuje takie elementy jak np. pozioma kreska w cyfrze 7.



Rysunek 3.6

Na rysunku 3.7 przedstawiony jest efekt przeprowadzenia analogicznego eksperymentu z nauką na jedynie przykładach z klas [4, 7] i sprawdzeniu zachowania dla danych z klasy 5. Zamiast kosztu rekonstrukcji MSE używamy błędu perceptualnego. Jak widać separacja jest co najmniej tak dobra jak w przypadku zwykłego VAE.



Rysunek 3.7

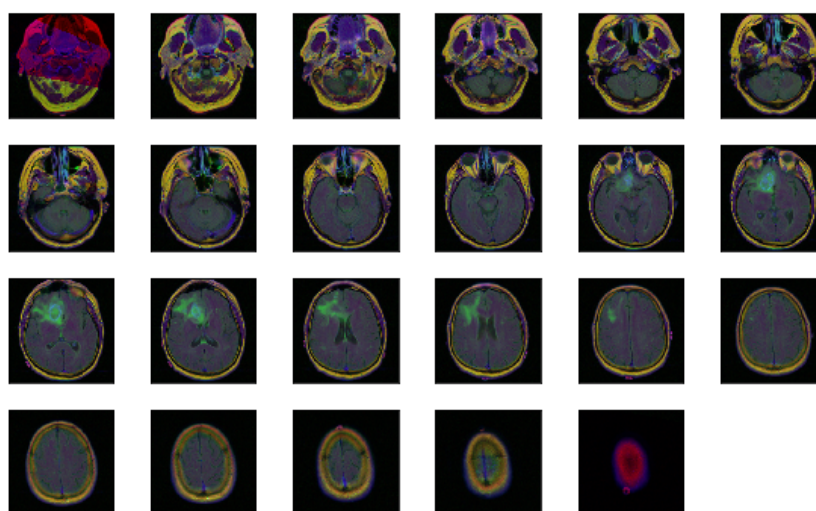
Rozdział 4.

Medical Dataset

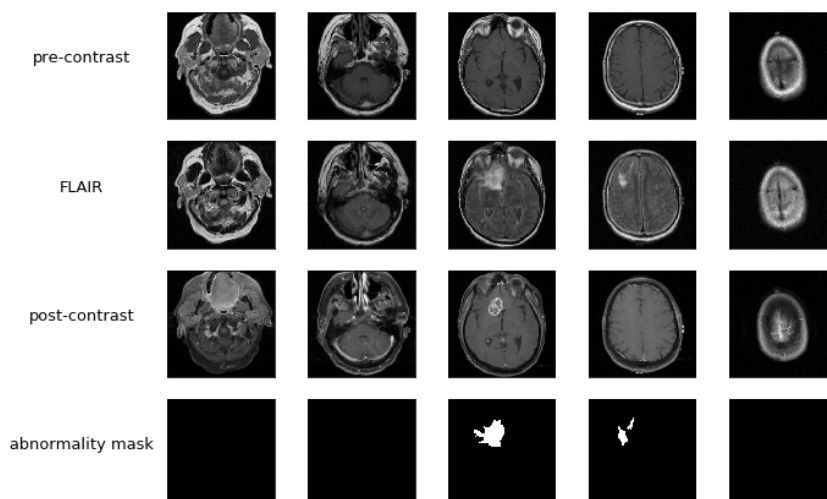
4.1. Description

Dane pochodzą z Duke University. Są to zdjęcia z rezonansu magnetycznego głowy wraz z zaznaczonymi obszarami zmian nowotworowych. Obrazy są rozmiaru 256x256x3. Pierwszy kanał jest zdjęciem wykonanym przed wprowadzeniem kontrastu, drugi w trakcie, a trzeci po. Maski mają rozmiar 256x256, a każdy piksel ma wartość 0 albo 255 (255 oznacza komórkę nowotworową).

Dane pogrupowane są dla 110 pacjentów. Łącznie znajduje się 3929 par obrazów, z czego w 1373 jest przynajmniej jedna komórka nowotworowa (34.95%). Natomiast w całym zbiorze piksele oznaczające zmiany nowotworowe stanowią jedynie 1.02988%



Rysunek 4.1



Rysunek 4.2

4.2. Preprocessing

Opis preprocessingu

4.3. Patches

Wybór rozmiaru patchy i ekspeymenty z tym związane

4.4. Normalizations

Rozdział 5.

Experiments on medical dataset

5.1. VAE

5.2. C-VAE

Rozdział 6.

Workflow

Rozdział 7.

Summary